

Übung 7 – Algorithmen II

Tobias Heuer, Sebastian Lamm – tobias.heuer@kit.edu, lamm@kit.edu
http://algo2.iti.kit.edu/AlgorithmenII_WS19.php

Institut für Theoretische Informatik - Algorithmen II

```
        result = current_weight;
        return true;
    }

    for( EdgeID eid = graph.edgeBegin( current ); eid != graph.edgeEnd( current ); ++eid ){
        const Edge & edge = graph.getEdge( eid );
        COUNTING( statistic_data.inc( DijkstraStatisticData::TOUCHED_EDGES ); )
        if( edge.forward ){
            COUNTING( statistic_data.inc( DijkstraStatisticData::RELAXED_EDGES ); )
            weight new_weight = edge.weight + current_weight;
            GUARANTEE( new_weight >= current_weight, std::runtime_error, "Weight overflow detected." );
            if( !priority_queue.isReached( edge.target ) ){
                COUNTING( statistic_data.inc( DijkstraStatisticData::SUCCESSFULLY_RELAXED_EDGES ); )
                COUNTING( statistic_data.inc( DijkstraStatisticData::REACHED_NODES ); )
                priority_queue.push( edge.target, new_weight );
            } else {
                if( priority_queue.getCurrentKey( edge.target ) > new_weight ){
                    COUNTING( statistic_data.inc( DijkstraStatisticData::SUCCESSFULLY_RELAXED_NODES ); )
                    priority_queue.decreaseKey( edge.target, new_weight );
                }
            }
        }
    }
}
```

Übungsinhalt

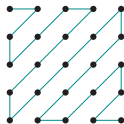
- Approximationsalgorithmen
(schwierige Probleme gut abschätzen)
 - Grundlagen (Gütemaß, Klassen)
 - Minimum Metric TSP
- Parametrisierte Algorithmen
(schwierige Probleme in Spezialfällen exakt lösen)
 - *fixed parameter tractable*
 - Beispiel: *Schiebepuzzle*
- Parallelverarbeitung
 - Modelle
 - Verbindungsstrukturen
 - Anwendungen
 - Präfixsumme
 - Paralleles Sortieren
 - Effizienz

Warum Lösungen abschätzen?

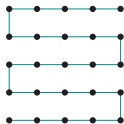
- es gibt “schwierige” Probleme (z.B. TSP mit exponentieller Laufzeit)
 - exakte Berechnung nicht möglich zu unseren Lebzeiten
- vernünftige Näherungen **effizient** berechnen
 - exakte/optimale Ergebnisse nicht immer wichtig
 - “gute” Lösungen genügen oft
 - aber Abstand zur korrekten Lösung wissenswert



Weglänge “lang”



Weglänge $8 + 16\sqrt{2}$



Weglänge 24

- Ein Algorithmus ALG hat einen **Approximationsfaktor** ρ , wenn gilt

$$\frac{w(ALG(I))}{w(OPT(I))} \leq \rho$$

f.a. Probleminstanzen I , OPT optimale Lösung, w Bewertungsfunktion
(für Minimierungsprobleme $\Rightarrow \rho > 1$, für Maximierungsprobleme $\Rightarrow \rho < 1$)

Beispiel:

- ALG schätzt Distanz von Strecke x auf nächste Zweierpotenz $2^{\lceil \log |x| \rceil}$
- OPT bestimmt korrekte Distanz $|x|$

$$\Rightarrow \frac{w(ALG)}{w(OPT)} = \frac{2^{\lceil \log |x| \rceil}}{|x|} \leq \frac{2^{\log |x| + 1}}{|x|} = \frac{2|x|}{|x|} = 2 = \rho$$

$$\text{(Zahlenbeispiel: } |x| = 2^{10} + 1 \rightarrow \frac{2^{11}}{2^{10} + 1} = 2 - \frac{2}{2^{10} + 1} \approx 2)$$

Approximationsprobleme klassifizierbar durch

- Laufzeit $T(n, \varepsilon)$
- Approximationsfaktor $\rho(n, \varepsilon)$

Klassen an Approximationsproblemen

APX (*approximable*)

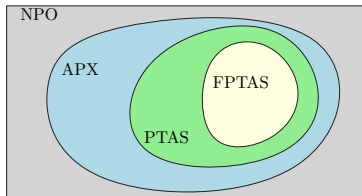
$\rho = \text{const.}$, T polynomiell in n

PTAS (*polynomial time approximation scheme*)

$\rho = 1 \pm \varepsilon$, bel. $\varepsilon \in (0, 1)$, T poly. in n

FPTAS (*fully polynomial time approximation scheme*)

$\rho = 1 \pm \varepsilon$, bel. $\varepsilon \in (0, 1)$, T poly. in $n, \frac{1}{\varepsilon}$



Beispiele:

$$\Rightarrow T(n, \varepsilon) = n^{\frac{1}{\varepsilon}}, \rho(n, \varepsilon) = 2$$

$$\Rightarrow T(n, \varepsilon) = n^{\frac{1}{\varepsilon}}, \rho(n, \varepsilon) = 1 + \varepsilon$$

$$\Rightarrow T(n, \varepsilon) = \frac{1}{\varepsilon}n, \rho(n, \varepsilon) = 1 + 2\varepsilon$$

Approximationsalgorithmen

Klassen

Approximationsprobleme klassifizierbar durch

- Laufzeit $T(n, \varepsilon)$
- Approximationsfaktor $\rho(n, \varepsilon)$

Klassen an Approximationsproblemen

APX (*approximable*)

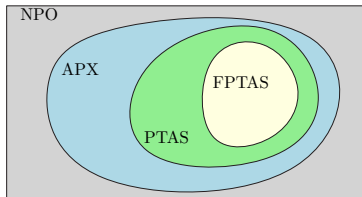
$\rho = \text{const.}$, T polynomiell in n

PTAS (*polynomial time approximation scheme*)

$\rho = 1 \pm \varepsilon$, bel. $\varepsilon \in (0, 1)$, T poly. in n

FPTAS (*fully polynomial time approximation scheme*)

$\rho = 1 \pm \varepsilon$, bel. $\varepsilon \in (0, 1)$, T poly. in $n, \frac{1}{\varepsilon}$



Beispiele:

$$\Rightarrow T(n, \varepsilon) = n^{\frac{1}{\varepsilon}}, \rho(n, \varepsilon) = 2 \quad (\text{APX})$$

$$\Rightarrow T(n, \varepsilon) = n^{\frac{1}{\varepsilon}}, \rho(n, \varepsilon) = 1 + \varepsilon$$

$$\Rightarrow T(n, \varepsilon) = \frac{1}{\varepsilon} n, \rho(n, \varepsilon) = 1 + 2\varepsilon$$

Approximationsalgorithmen

Klassen

Approximationsprobleme klassifizierbar durch

- Laufzeit $T(n, \varepsilon)$
- Approximationsfaktor $\rho(n, \varepsilon)$

Klassen an Approximationsproblemen

APX (*approximable*)

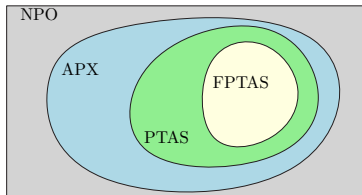
$\rho = \text{const.}$, T polynomiell in n

PTAS (*polynomial time approximation scheme*)

$\rho = 1 \pm \varepsilon$, bel. $\varepsilon \in (0, 1)$, T poly. in n

FPTAS (*fully polynomial time approximation scheme*)

$\rho = 1 \pm \varepsilon$, bel. $\varepsilon \in (0, 1)$, T poly. in $n, \frac{1}{\varepsilon}$



Beispiele:

$$\Rightarrow T(n, \varepsilon) = n^{\frac{1}{\varepsilon}}, \rho(n, \varepsilon) = 2 \quad (\text{APX})$$

$$\Rightarrow T(n, \varepsilon) = n^{\frac{1}{\varepsilon}}, \rho(n, \varepsilon) = 1 + \varepsilon \quad (\text{PTAS})$$

$$\Rightarrow T(n, \varepsilon) = \frac{1}{\varepsilon} n, \rho(n, \varepsilon) = 1 + 2\varepsilon$$

Approximationsprobleme klassifizierbar durch

- Laufzeit $T(n, \varepsilon)$
- Approximationsfaktor $\rho(n, \varepsilon)$

Klassen an Approximationsproblemen

APX (*approximable*)

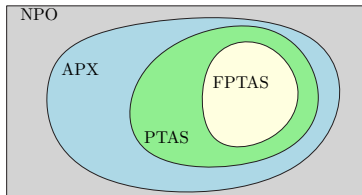
$\rho = \text{const.}$, T polynomiell in n

PTAS (*polynomial time approximation scheme*)

$\rho = 1 \pm \varepsilon$, bel. $\varepsilon \in (0, 1)$, T poly. in n

FPTAS (*fully polynomial time approximation scheme*)

$\rho = 1 \pm \varepsilon$, bel. $\varepsilon \in (0, 1)$, T poly. in $n, \frac{1}{\varepsilon}$



Beispiele:

$$\Rightarrow T(n, \varepsilon) = n^{\frac{1}{\varepsilon}}, \rho(n, \varepsilon) = 2 \quad (\text{APX})$$

$$\Rightarrow T(n, \varepsilon) = n^{\frac{1}{\varepsilon}}, \rho(n, \varepsilon) = 1 + \varepsilon \quad (\text{PTAS})$$

$$\Rightarrow T(n, \varepsilon) = \frac{1}{\varepsilon} n, \rho(n, \varepsilon) = 1 + 2\varepsilon \quad (\text{FPTAS})$$

Approximationsalgorithmen

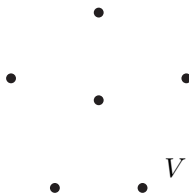
Minimum Metric TSP (NP-hard)

Problemstellung

- Gegeben eine Menge an Punkten V in der Ebene
- Vollständiger Graph
- Kantengewichte erfüllen Dreiecks-Ungleichung
- Finde Kreis minimaler Länge der alle Punkte abläuft

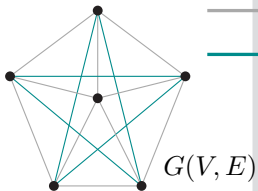
Wiederholung 2-Approximation (Algorithmus)

- Graph $G = (V, E)$ (vollständig, ungerichtet)
- bestimme MST T ($w(T) \leq w(OPT)$)
- verdopple Kanten von $T \rightarrow T'$ ($w(T') \leq 2w(OPT)$)
- bestimme Eulerkreis EK auf T' ($w(EK) = w(T')$)
- wandle EK zu Hamiltonkreis HK
($w(HK) \leq w(EK) \leq 2w(OPT)$)



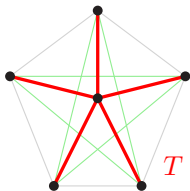
Wiederholung 2-Approximation (Algorithmus)

- Graph $G = (V, E)$ (vollständig, ungerichtet)
- bestimme MST T ($w(T) \leq w(OPT)$)
- verdopple Kanten von $T \rightarrow T'$ ($w(T') \leq 2w(OPT)$)
- bestimme Eulerkreis EK auf T' ($w(EK) = w(T')$)
- wandle EK zu Hamiltonkreis HK
($w(HK) \leq w(EK) \leq 2w(OPT)$)



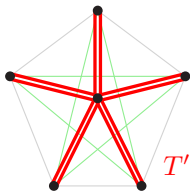
Wiederholung 2-Approximation (Algorithmus)

- Graph $G = (V, E)$ (vollständig, ungerichtet)
- **bestimme MST T** ($w(T) \leq w(OPT)$)
- verdopple Kanten von $T \rightarrow T'$ ($w(T') \leq 2w(OPT)$)
- bestimme Eulerkreis EK auf T' ($w(EK) = w(T')$)
- wandle EK zu Hamiltonkreis HK
($w(HK) \leq w(EK) \leq 2w(OPT)$)



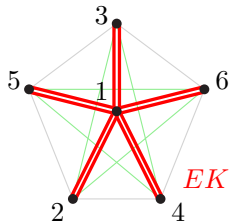
Wiederholung 2-Approximation (Algorithmus)

- Graph $G = (V, E)$ (vollständig, ungerichtet)
- bestimme MST T ($w(T) \leq w(OPT)$)
- verdopple Kanten von $T \rightarrow T'$ ($w(T') \leq 2w(OPT)$)
- bestimme Eulerkreis EK auf T' ($w(EK) = w(T')$)
- wandle EK zu Hamiltonkreis HK
($w(HK) \leq w(EK) \leq 2w(OPT)$)



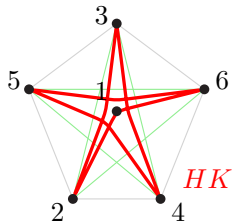
Wiederholung 2-Approximation (Algorithmus)

- Graph $G = (V, E)$ (vollständig, ungerichtet)
- bestimme MST T ($w(T) \leq w(OPT)$)
- verdopple Kanten von $T \rightarrow T'$ ($w(T') \leq 2w(OPT)$)
- bestimme Eulerkreis EK auf T' ($w(EK) = w(T')$)
- wandle EK zu Hamiltonkreis HK
($w(HK) \leq w(EK) \leq 2w(OPT)$)



Wiederholung 2-Approximation (Algorithmus)

- Graph $G = (V, E)$ (vollständig, ungerichtet)
- bestimme MST T ($w(T) \leq w(OPT)$)
- verdopple Kanten von $T \rightarrow T'$ ($w(T') \leq 2w(OPT)$)
- bestimme Eulerkreis EK auf T' ($w(EK) = w(T')$)
- **wandle EK zu Hamiltonkreis HK**
($w(HK) \leq w(EK) \leq 2w(OPT)$)

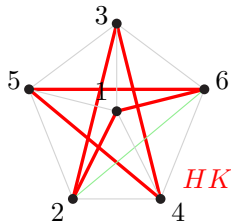


Approximationsalgorithmen

Minimum Metric TSP (NP-hart)

Wiederholung 2-Approximation (Algorithmus)

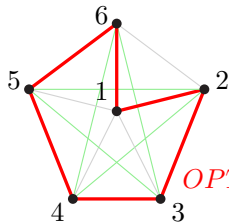
- Graph $G = (V, E)$ (vollständig, ungerichtet)
- bestimme MST T ($w(T) \leq w(OPT)$)
- verdopple Kanten von $T \rightarrow T'$ ($w(T') \leq 2w(OPT)$)
- bestimme Eulerkreis EK auf T' ($w(EK) = w(T')$)
- **wandle EK zu Hamiltonkreis HK**
($w(HK) \leq w(EK) \leq 2w(OPT)$)



Weg

Wiederholung 2-Approximation (Algorithmus)

- Graph $G = (V, E)$ (vollständig, ungerichtet)
- bestimme MST T ($w(T) \leq w(OPT)$)
- verdopple Kanten von $T \rightarrow T'$ ($w(T') \leq 2w(OPT)$)
- bestimme Eulerkreis EK auf T' ($w(EK) = w(T')$)
- wandle EK zu Hamiltonkreis HK
($w(HK) \leq w(EK) \leq 2w(OPT)$)

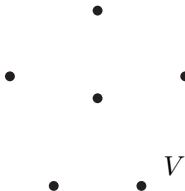


Approximationsalgorithmen

Minimum Metric TSP

3/2-Approximation (Algorithmus) (Christofides-Heuristik)

- Graph $G = (V, E)$ (vollständig, ungerichtet)
- bestimme MST T
- bestimme Knoten U mit ungeradem Grad in T
- finde *minimales perfektes Matching* M auf (U, E)
(alle Knoten gematcht, Summe der Gewichte der Matchingkanten minimal)
- füge Kanten M zu $T \rightarrow T'$
($w(T') = w(T) + w(M) \leq w(OPT) + w(M)$)
- bestimme Eulerkreis EK auf T'
(alle Knoten haben geraden Grad)
- wandle EK zu Hamiltonkreis HK
($w(HK) \leq w(EK) = w(T') \leq w(OPT) + w(M)$)



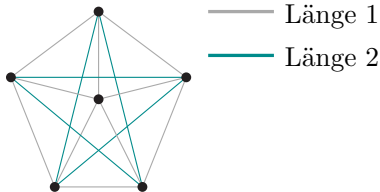
(Laufzeit durch Matching dominiert, $\mathcal{O}(n^3)$)

Approximationsalgorithmen

Minimum Metric TSP

3/2-Approximation (Algorithmus) (Christofides-Heuristik)

- Graph $G = (V, E)$ (vollständig, ungerichtet)
- bestimme MST T
- bestimme Knoten U mit ungeradem Grad in T
- finde *minimales perfektes Matching* M auf (U, E)
(alle Knoten gematcht, Summe der Gewichte der Matchingkanten minimal)
- füge Kanten M zu $T \rightarrow T'$
($w(T') = w(T) + w(M) \leq w(OPT) + w(M)$)
- bestimme Eulerkreis EK auf T'
(alle Knoten haben geraden Grad)
- wandle EK zu Hamiltonkreis HK
($w(HK) \leq w(EK) = w(T') \leq w(OPT) + w(M)$)



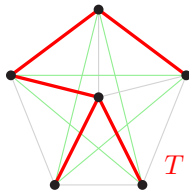
(Laufzeit durch Matching dominiert, $\mathcal{O}(n^3)$)

Approximationsalgorithmen

Minimum Metric TSP

3/2-Approximation (Algorithmus) (Christofides-Heuristik)

- Graph $G = (V, E)$ (vollständig, ungerichtet)
- **bestimme MST T**
- bestimme Knoten U mit ungeradem Grad in T
- finde *minimales perfektes Matching* M auf (U, E)
(alle Knoten gematcht, Summe der Gewichte der Matchingkanten minimal)
- füge Kanten M zu $T \rightarrow T'$
($w(T') = w(T) + w(M) \leq w(OPT) + w(M)$)
- bestimme Eulerkreis EK auf T'
(alle Knoten haben geraden Grad)
- wandle EK zu Hamiltonkreis HK
($w(HK) \leq w(EK) = w(T') \leq w(OPT) + w(M)$)



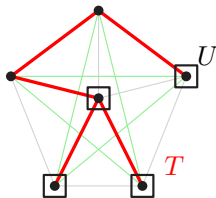
(Laufzeit durch Matching dominiert, $\mathcal{O}(n^3)$)

Approximationsalgorithmen

Minimum Metric TSP

3/2-Approximation (Algorithmus) (Christofides-Heuristik)

- Graph $G = (V, E)$ (vollständig, ungerichtet)
- bestimme MST T
- bestimme Knoten U mit ungeradem Grad in T
- finde *minimales perfektes Matching* M auf (U, E)
(alle Knoten gematcht, Summe der Gewichte der Matchingkanten minimal)
- füge Kanten M zu $T \rightarrow T'$
($w(T') = w(T) + w(M) \leq w(OPT) + w(M)$)
- bestimme Eulerkreis EK auf T'
(alle Knoten haben geraden Grad)
- wandle EK zu Hamiltonkreis HK
($w(HK) \leq w(EK) = w(T') \leq w(OPT) + w(M)$)



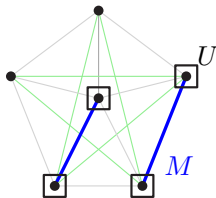
(Laufzeit durch Matching dominiert, $\mathcal{O}(n^3)$)

Approximationsalgorithmen

Minimum Metric TSP

3/2-Approximation (Algorithmus) (Christofides-Heuristik)

- Graph $G = (V, E)$ (vollständig, ungerichtet)
- bestimme MST T
- bestimme Knoten U mit ungeradem Grad in T
- finde *minimales perfektes Matching* M auf (U, E)
(alle Knoten gematcht, Summe der Gewichte der Matchingkanten minimal)
- füge Kanten M zu $T \rightarrow T'$
($w(T') = w(T) + w(M) \leq w(OPT) + w(M)$)
- bestimme Eulerkreis EK auf T'
(alle Knoten haben geraden Grad)
- wandle EK zu Hamiltonkreis HK
($w(HK) \leq w(EK) = w(T') \leq w(OPT) + w(M)$)



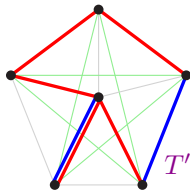
(Laufzeit durch Matching dominiert, $\mathcal{O}(n^3)$)

Approximationsalgorithmen

Minimum Metric TSP

3/2-Approximation (Algorithmus) (Christofides-Heuristik)

- Graph $G = (V, E)$ (vollständig, ungerichtet)
- bestimme MST T
- bestimme Knoten U mit ungeradem Grad in T
- finde *minimales perfektes Matching* M auf (U, E)
(alle Knoten gematcht, Summe der Gewichte der Matchingkanten minimal)
- füge Kanten M zu $T \rightarrow T'$
($w(T') = w(T) + w(M) \leq w(OPT) + w(M)$)
- bestimme Eulerkreis EK auf T'
(alle Knoten haben geraden Grad)
- wandle EK zu Hamiltonkreis HK
($w(HK) \leq w(EK) = w(T') \leq w(OPT) + w(M)$)



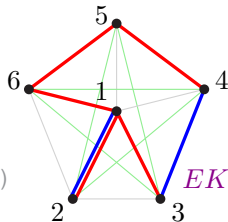
(Laufzeit durch Matching dominiert, $\mathcal{O}(n^3)$)

Approximationsalgorithmen

Minimum Metric TSP

3/2-Approximation (Algorithmus) (Christofides-Heuristik)

- Graph $G = (V, E)$ (vollständig, ungerichtet)
- bestimme MST T
- bestimme Knoten U mit ungeradem Grad in T
- finde *minimales perfektes Matching* M auf (U, E)
(alle Knoten gematcht, Summe der Gewichte der Matchingkanten minimal)
- füge Kanten M zu $T \rightarrow T'$
($w(T') = w(T) + w(M) \leq w(OPT) + w(M)$)
- **bestimme Eulerkreis EK auf T'**
(alle Knoten haben geraden Grad)
- wandle EK zu Hamiltonkreis HK
($w(HK) \leq w(EK) = w(T') \leq w(OPT) + w(M)$)



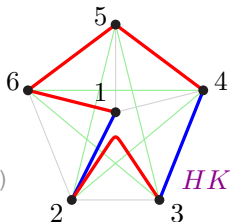
(Laufzeit durch Matching dominiert, $\mathcal{O}(n^3)$)

Approximationsalgorithmen

Minimum Metric TSP

3/2-Approximation (Algorithmus) (Christofides-Heuristik)

- Graph $G = (V, E)$ (vollständig, ungerichtet)
- bestimme MST T
- bestimme Knoten U mit ungeradem Grad in T
- finde *minimales perfektes Matching* M auf (U, E)
(alle Knoten gematcht, Summe der Gewichte der Matchingkanten minimal)
- füge Kanten M zu $T \rightarrow T'$
($w(T') = w(T) + w(M) \leq w(OPT) + w(M)$)
- bestimme Eulerkreis EK auf T'
(alle Knoten haben geraden Grad)
- **wandle EK zu Hamiltonkreis HK**
($w(HK) \leq w(EK) = w(T') \leq w(OPT) + w(M)$)



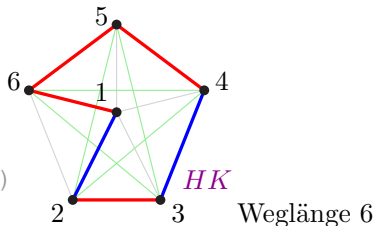
(Laufzeit durch Matching dominiert, $\mathcal{O}(n^3)$)

Approximationsalgorithmen

Minimum Metric TSP

3/2-Approximation (Algorithmus) (Christofides-Heuristik)

- Graph $G = (V, E)$ (vollständig, ungerichtet)
- bestimme MST T
- bestimme Knoten U mit ungeradem Grad in T
- finde *minimales perfektes Matching* M auf (U, E)
(alle Knoten gematcht, Summe der Gewichte der Matchingkanten minimal)
- füge Kanten M zu $T \rightarrow T'$
($w(T') = w(T) + w(M) \leq w(OPT) + w(M)$)
- bestimme Eulerkreis EK auf T'
(alle Knoten haben geraden Grad)
- **wandle EK zu Hamiltonkreis HK**
($w(HK) \leq w(EK) = w(T') \leq w(OPT) + w(M)$)



(Laufzeit durch Matching dominiert, $\mathcal{O}(n^3)$)

Approximationsalgorithmen

Minimum Metric TSP

3/2-Approximation (Beweis) (Christofides-Heuristik)

- Abschätzungen: (analog zu vorherigem Beweis)

$$\Rightarrow w(HK) \leq w(EK) = w(T') = w(T) + w(M) \leq w(OPT) + w(M)$$

- Bestimmung von $w(M)$:

- sei HK' Hamiltonkreis auf U (U : Knoten mit ungeradem Grad in T)
(erzeugt durch Überspringen aller Knoten $V \setminus U$ in OPT)

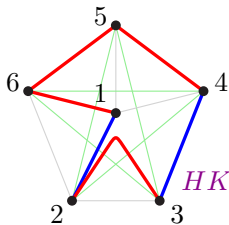
- definiere alternierende perfekte Matchings M_1, M_2 auf HK'
(existiert, da $|U|$ gerade, $HK' = M_1 \cup M_2$)

$$\Rightarrow w(M) \leq w(M_1), w(M) \leq w(M_2) \quad (M \text{ min. Matching!})$$

$$\Rightarrow 2 \cdot w(M) \leq w(M_1) + w(M_2) = w(HK') \leq w(OPT)$$

(Überspringen gerader Knoten und Dreiecks-Ungleichung)

$$\Rightarrow w(HK) \leq \frac{3}{2} w(OPT)$$



3/2-Approximation (Beweis) (Christofides-Heuristik)

- Abschätzungen: (analog zu vorherigem Beweis)

$$\Rightarrow w(HK) \leq w(EK) = w(T') = w(T) + w(M) \leq w(OPT) + w(M)$$

- Bestimmung von $w(M)$:

- sei HK' Hamiltonkreis auf U (U : Knoten mit ungeradem Grad in T)
(erzeugt durch Überspringen aller Knoten $V \setminus U$ in OPT)

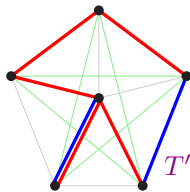
- definiere alternierende perfekte Matchings M_1, M_2 auf HK'
(existiert, da $|U|$ gerade, $HK' = M_1 \cup M_2$)

$$\Rightarrow w(M) \leq w(M_1), w(M) \leq w(M_2) \quad (M \text{ min. Matching!})$$

$$\Rightarrow 2 \cdot w(M) \leq w(M_1) + w(M_2) = w(HK') \leq w(OPT)$$

(Überspringen gerader Knoten und Dreiecks-Ungleichung)

$$\Rightarrow w(HK) \leq \frac{3}{2} w(OPT)$$



3/2-Approximation (Beweis) (Christofides-Heuristik)

- Abschätzungen: (analog zu vorherigem Beweis)

$$\Rightarrow w(HK) \leq w(EK) = w(T') = w(T) + w(M) \leq w(OPT) + w(M)$$

- Bestimmung von $w(M)$:

- sei HK' Hamiltonkreis auf U (U : Knoten mit ungeradem Grad in T)
(erzeugt durch Überspringen aller Knoten $V \setminus U$ in OPT)

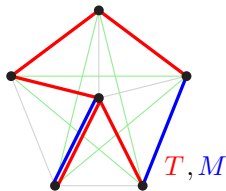
- definiere alternierende perfekte Matchings M_1, M_2 auf HK'
(existiert, da $|U|$ gerade, $HK' = M_1 \cup M_2$)

$$\Rightarrow w(M) \leq w(M_1), w(M) \leq w(M_2) \quad (M \text{ min. Matching!})$$

$$\Rightarrow 2 \cdot w(M) \leq w(M_1) + w(M_2) = w(HK') \leq w(OPT)$$

(Überspringen gerader Knoten und Dreiecks-Ungleichung)

$$\Rightarrow w(HK) \leq \frac{3}{2} w(OPT)$$



Approximationsalgorithmen

Minimum Metric TSP

3/2-Approximation (Beweis) (Christofides-Heuristik)

- Abschätzungen: (analog zu vorherigem Beweis)

$$\Rightarrow w(HK) \leq w(EK) = w(T') = w(T) + w(M) \leq w(OPT) + w(M)$$

- Bestimmung von $w(M)$:

- sei HK' Hamiltonkreis auf U (U : Knoten mit ungeradem Grad in T)
(erzeugt durch Überspringen aller Knoten $V \setminus U$ in OPT)

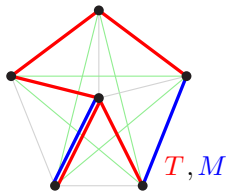
- definiere alternierende perfekte Matchings M_1, M_2 auf HK'
(existiert, da $|U|$ gerade, $HK' = M_1 \cup M_2$)

$$\Rightarrow w(M) \leq w(M_1), w(M) \leq w(M_2) \quad (M \text{ min. Matching!})$$

$$\Rightarrow 2 \cdot w(M) \leq w(M_1) + w(M_2) = w(HK') \leq w(OPT)$$

(Überspringen gerader Knoten und Dreiecks-Ungleichung)

$$\Rightarrow w(HK) \leq \frac{3}{2} w(OPT)$$



3/2-Approximation (Beweis) (Christofides-Heuristik)

- Abschätzungen: (analog zu vorherigem Beweis)

$$\Rightarrow w(HK) \leq w(EK) = w(T') = w(T) + w(M) \leq w(OPT) + w(M)$$

- Bestimmung von $w(M)$:

- sei HK' Hamiltonkreis auf U (U : Knoten mit ungeradem Grad in T)
(erzeugt durch Überspringen aller Knoten $V \setminus U$ in OPT)

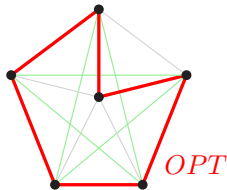
- definiere alternierende perfekte Matchings M_1, M_2 auf HK'
(existiert, da $|U|$ gerade, $HK' = M_1 \cup M_2$)

$$\Rightarrow w(M) \leq w(M_1), w(M) \leq w(M_2) \quad (M \text{ min. Matching!})$$

$$\Rightarrow 2 \cdot w(M) \leq w(M_1) + w(M_2) = w(HK') \leq w(OPT)$$

(Überspringen gerader Knoten und Dreiecks-Ungleichung)

$$\Rightarrow w(HK) \leq \frac{3}{2} w(OPT)$$



Approximationsalgorithmen

Minimum Metric TSP

3/2-Approximation (Beweis) (Christofides-Heuristik)

- Abschätzungen: (analog zu vorherigem Beweis)

$$\Rightarrow w(HK) \leq w(EK) = w(T') = w(T) + w(M) \leq w(OPT) + w(M)$$

- Bestimmung von $w(M)$:

- sei HK' Hamiltonkreis auf U (U : Knoten mit ungeradem Grad in T)

(erzeugt durch Überspringen aller Knoten $V \setminus U$ in OPT)

- definiere alternierende perfekte Matchings M_1, M_2 auf HK'

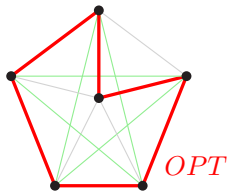
(existiert, da $|U|$ gerade, $HK' = M_1 \cup M_2$)

$$\Rightarrow w(M) \leq w(M_1), w(M) \leq w(M_2) \quad (M \text{ min. Matching!})$$

$$\Rightarrow 2 \cdot w(M) \leq w(M_1) + w(M_2) = w(HK') \leq w(OPT)$$

(Überspringen gerader Knoten und Dreiecks-Ungleichung)

$$\Rightarrow w(HK) \leq \frac{3}{2} w(OPT)$$



Approximationsalgorithmen

Minimum Metric TSP

3/2-Approximation (Beweis) (Christofides-Heuristik)

- Abschätzungen: (analog zu vorherigem Beweis)

$$\Rightarrow w(HK) \leq w(EK) = w(T') = w(T) + w(M) \leq w(OPT) + w(M)$$

- Bestimmung von $w(M)$:

- sei HK' Hamiltonkreis auf U (U : Knoten mit ungeradem Grad in T)

(erzeugt durch Überspringen aller Knoten $V \setminus U$ in OPT)

- definiere alternierende perfekte Matchings M_1, M_2 auf HK'

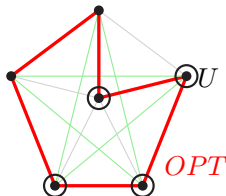
(existiert, da $|U|$ gerade, $HK' = M_1 \cup M_2$)

$$\Rightarrow w(M) \leq w(M_1), w(M) \leq w(M_2) \quad (M \text{ min. Matching!})$$

$$\Rightarrow 2 \cdot w(M) \leq w(M_1) + w(M_2) = w(HK') \leq w(OPT)$$

(Überspringen gerader Knoten und Dreiecks-Ungleichung)

$$\Rightarrow w(HK) \leq \frac{3}{2} w(OPT)$$



3/2-Approximation (Beweis) (Christofides-Heuristik)

- Abschätzungen: (analog zu vorherigem Beweis)

$$\Rightarrow w(HK) \leq w(EK) = w(T') = w(T) + w(M) \leq w(OPT) + w(M)$$

- Bestimmung von $w(M)$:

- sei HK' Hamiltonkreis auf U (U : Knoten mit ungeradem Grad in T)

(erzeugt durch Überspringen aller Knoten $V \setminus U$ in OPT)

- definiere alternierende perfekte Matchings M_1, M_2 auf HK'

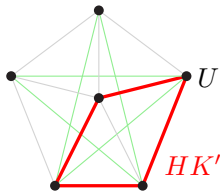
(existiert, da $|U|$ gerade, $HK' = M_1 \cup M_2$)

$$\Rightarrow w(M) \leq w(M_1), w(M) \leq w(M_2) \quad (M \text{ min. Matching!})$$

$$\Rightarrow 2 \cdot w(M) \leq w(M_1) + w(M_2) = w(HK') \leq w(OPT)$$

(Überspringen gerader Knoten und Dreiecks-Ungleichung)

$$\Rightarrow w(HK) \leq \frac{3}{2} w(OPT)$$



3/2-Approximation (Beweis) (Christofides-Heuristik)

- Abschätzungen: (analog zu vorherigem Beweis)

$$\Rightarrow w(HK) \leq w(EK) = w(T') = w(T) + w(M) \leq w(OPT) + w(M)$$

- Bestimmung von $w(M)$:

- sei HK' Hamiltonkreis auf U (U : Knoten mit ungeradem Grad in T)
(erzeugt durch Überspringen aller Knoten $V \setminus U$ in OPT)

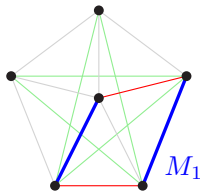
- definiere alternierende perfekte Matchings M_1, M_2 auf HK'
(existiert, da $|U|$ gerade, $HK' = M_1 \cup M_2$)

$$\Rightarrow w(M) \leq w(M_1), w(M) \leq w(M_2) \quad (M \text{ min. Matching!})$$

$$\Rightarrow 2 \cdot w(M) \leq w(M_1) + w(M_2) = w(HK') \leq w(OPT)$$

(Überspringen gerader Knoten und Dreiecks-Ungleichung)

$$\Rightarrow w(HK) \leq \frac{3}{2} w(OPT)$$



3/2-Approximation (Beweis) (Christofides-Heuristik)

- Abschätzungen: (analog zu vorherigem Beweis)

$$\Rightarrow w(HK) \leq w(EK) = w(T') = w(T) + w(M) \leq w(OPT) + w(M)$$

- Bestimmung von $w(M)$:

- sei HK' Hamiltonkreis auf U (U : Knoten mit ungeradem Grad in T)
(erzeugt durch Überspringen aller Knoten $V \setminus U$ in OPT)

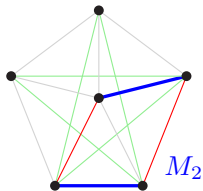
- definiere alternierende perfekte Matchings M_1, M_2 auf HK'
(existiert, da $|U|$ gerade, $HK' = M_1 \cup M_2$)

$$\Rightarrow w(M) \leq w(M_1), w(M) \leq w(M_2) \quad (M \text{ min. Matching!})$$

$$\Rightarrow 2 \cdot w(M) \leq w(M_1) + w(M_2) = w(HK') \leq w(OPT)$$

(Überspringen gerader Knoten und Dreiecks-Ungleichung)

$$\Rightarrow w(HK) \leq \frac{3}{2} w(OPT)$$



3/2-Approximation (Beweis) (Christofides-Heuristik)

- Abschätzungen: (analog zu vorherigem Beweis)

$$\Rightarrow w(HK) \leq w(EK) = w(T') = w(T) + w(M) \leq w(OPT) + w(M)$$

- Bestimmung von $w(M)$:

- sei HK' Hamiltonkreis auf U (U : Knoten mit ungeradem Grad in T)
(erzeugt durch Überspringen aller Knoten $V \setminus U$ in OPT)

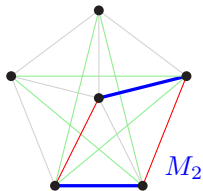
- definiere alternierende perfekte Matchings M_1, M_2 auf HK'
(existiert, da $|U|$ gerade, $HK' = M_1 \cup M_2$)

$$\Rightarrow w(M) \leq w(M_1), w(M) \leq w(M_2) \quad (M \text{ min. Matching!})$$

$$\Rightarrow 2 \cdot w(M) \leq w(M_1) + w(M_2) = w(HK') \leq w(OPT)$$

(Überspringen gerader Knoten und Dreiecks-Ungleichung)

$$\Rightarrow w(HK) \leq \frac{3}{2} w(OPT)$$



3/2-Approximation (Beweis) (Christofides-Heuristik)

- Abschätzungen: (analog zu vorherigem Beweis)

$$\Rightarrow w(HK) \leq w(EK) = w(T') = w(T) + w(M) \leq w(OPT) + w(M)$$

- Bestimmung von $w(M)$:

- sei HK' Hamiltonkreis auf U (U : Knoten mit ungeradem Grad in T)
(erzeugt durch Überspringen aller Knoten $V \setminus U$ in OPT)

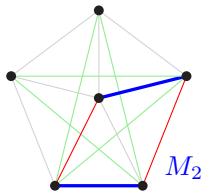
- definiere alternierende perfekte Matchings M_1, M_2 auf HK'
(existiert, da $|U|$ gerade, $HK' = M_1 \cup M_2$)

$$\Rightarrow w(M) \leq w(M_1), w(M) \leq w(M_2) \quad (M \text{ min. Matching!})$$

$$\Rightarrow 2 \cdot w(M) \leq w(M_1) + w(M_2) = w(HK') \leq w(OPT)$$

(Überspringen gerader Knoten und Dreiecks-Ungleichung)

$$\Rightarrow w(HK) \leq \frac{3}{2} w(OPT)$$



3/2-Approximation (Beweis) (Christofides-Heuristik)

- Abschätzungen: (analog zu vorherigem Beweis)

$$\Rightarrow w(HK) \leq w(EK) = w(T') = w(T) + w(M) \leq w(OPT) + w(M)$$

- Bestimmung von $w(M)$:

- sei HK' Hamiltonkreis auf U (U : Knoten mit ungeradem Grad in T)
(erzeugt durch Überspringen aller Knoten $V \setminus U$ in OPT)

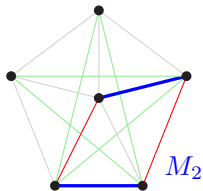
- definiere alternierende perfekte Matchings M_1, M_2 auf HK'
(existiert, da $|U|$ gerade, $HK' = M_1 \cup M_2$)

$$\Rightarrow w(M) \leq w(M_1), w(M) \leq w(M_2) \quad (M \text{ min. Matching!})$$

$$\Rightarrow 2 \cdot w(M) \leq w(M_1) + w(M_2) = w(HK') \leq w(OPT)$$

(Überspringen gerader Knoten und Dreiecks-Ungleichung)

$$\Rightarrow w(HK) \leq \frac{3}{2} w(OPT)$$



3/2-Approximation (Beweis) (Christofides-Heuristik)

- Abschätzungen: (analog zu vorherigem Beweis)

$$\Rightarrow w(HK) \leq w(EK) = w(T') = w(T) + w(M) \leq w(OPT) + w(M)$$

- Bestimmung von $w(M)$:

- sei HK' Hamiltonkreis auf U (U : Knoten mit ungeradem Grad in T)
(erzeugt durch Überspringen aller Knoten $V \setminus U$ in OPT)

- definiere alternierende perfekte Matchings M_1, M_2 auf HK'
(existiert, da $|U|$ gerade, $HK' = M_1 \cup M_2$)

$$\Rightarrow w(M) \leq w(M_1), w(M) \leq w(M_2) \quad (M \text{ min. Matching!})$$

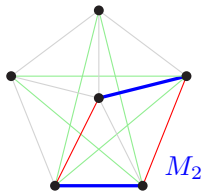
$$\Rightarrow 2 \cdot w(M) \leq w(M_1) + w(M_2) = w(HK') \leq w(OPT)$$

(Überspringen gerader Knoten und Dreiecks-Ungleichung)

$$\Rightarrow w(HK) \leq \frac{3}{2} w(OPT)$$

- Existiert immer perfektes Matching M ?

(Zeige, dass $|U|$ immer gerade ist!)



Wissenswert (nicht erschöpfend!)

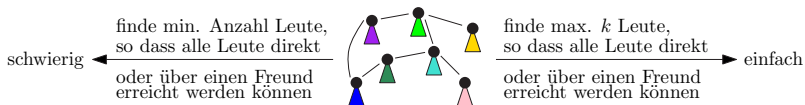
- Approximationsfaktor ρ
- APX, PTAS, FPTAS, pseudopolynomiell
- es gibt nicht gut approximierbare Probleme (z.B. minimum TSP)

Typische Fragestellungen

- Zu welcher Klasse gehört Algorithmus X mit $T(n, \varepsilon)$, $\rho(n, \varepsilon)$?
- Zeigen/Widerlegen Sie Approximationsfaktor ρ für Algorithmus X .
- (Bestimmen Sie einen Algorithmus mit Approximationsfaktor ρ)

Warum Probleme parametrisieren?

- es gibt “schwierige” Probleme (z.B. Minimum Independent Set)
 - allgemeine Instanzen haben zu lange Berechnungszeit
- Kann man **Spezialfälle** eventuell **effizient** berechnen?
 - Identifizierung zusätzlicher Parameter k der Problemstellung
 - falls “Komplexität” in diesen Parametern k steckt, effiziente Lösungen für $k = \text{const.}$!



- Ein Problem heißt **fixed parameter tractable**, wenn es eine Laufzeit

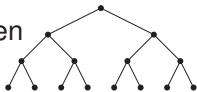
$$T(n, k) = \mathcal{O}(f(k) \cdot p(n))$$

hat, mit $f(\cdot)$ berechenbar, $p(\cdot)$ Polynom.

($f(\cdot)$ darf nicht von n abhängen und $p(\cdot)$ nicht von k ; häufig Entscheidungsprobleme)

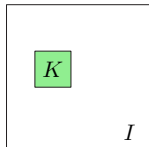
Tiefenbeschränkte Suche

- erschöpfendes Aufzählen und Testen aller Möglichkeiten
→ mit geeignetem Suchbaum beschränkter Tiefe
(k gibt Hinweis, wie weit man in die Tiefe gehen muss)



Kernbildung

- Probleminstanz auf (schwierigen) **Problemkern** reduzieren
- Problemkern mit anderer Technik lösen



Problemstellung

- gegeben $n \times n$ Schiebepuzzle, $k \in \mathbb{N}$
- entscheide, ob das Puzzle in $\leq k$ Zügen gelöst werden kann
 - das Puzzle ist gelöst, wenn die Teile sortiert sind
 - Loch wird pro Zug eine Position horizontal oder vertikal verschoben

Algorithmus A

- es gibt ≤ 4 Möglichkeiten in jedem Zug, k Züge
 - baue Suchbaum (Höhe k , Verzweigungsgrad ≤ 4)
→ Baumgröße $\mathcal{O}(4^k)$
 - teste jeden Knoten auf korrekte Lösung
→ Aufwand $\mathcal{O}(n^2) \in \mathcal{O}(\text{poly}(n))$

⇒ Gesamtaufwand: $\mathcal{O}(4^k n^2) \Rightarrow \text{FPT}$
 $(T(n, k) = 4T(n, k - 1) + \text{poly}(n))$

24	8	13	12	20
11	2		17	21
7	15	14	19	5
6	10	3	9	1
4	23	11	18	22

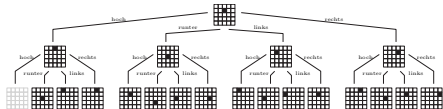
Problemstellung

- gegeben $n \times n$ Schiebepuzzle, $k \in \mathbb{N}$
- entscheide, ob das Puzzle in $\leq k$ Zügen gelöst werden kann
 - das Puzzle ist gelöst, wenn die Teile sortiert sind
 - Loch wird pro Zug eine Position horizontal oder vertikal verschoben

Algorithmus A

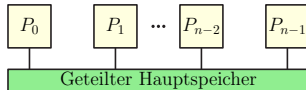
- es gibt ≤ 4 Möglichkeiten in jedem Zug, k Züge
 - baue Suchbaum (Höhe k , Verzweigungsgrad ≤ 4)
→ Baumgröße $\mathcal{O}(4^k)$
 - teste jeden Knoten auf korrekte Lösung
→ Aufwand $\mathcal{O}(n^2) \in \mathcal{O}(\text{poly}(n))$

⇒ Gesamtaufwand: $\mathcal{O}(4^k n^2) \Rightarrow \text{FPT}$
 $(T(n, k) = 4T(n, k - 1) + \text{poly}(n))$



PRAM (Shared Memory)

- synchrone Prozessoren
- gemeinsamer Speicher
- Speicherkonflikte



(symmetrisch) gemeinsamer Speicher

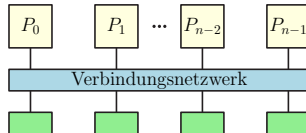
Verteilter Speicher (Distributed Memory)

B(ulk)**S**(ynchronous)**P**(arallel)

- kollektiver Nachrichtenaustausch aller Rechner
- BSP* berücksichtigt Nachrichtenlänge

PRAM (Shared Memory)

- synchrone Prozessoren
- gemeinsamer Speicher
- Speicherkonflikte



(symmetrisch) gemeinsamer Speicher

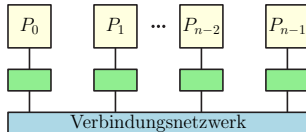
Verteilter Speicher (Distributed Memory)

B(ulk)S(ynchronous)P(arallel)

- kollektiver Nachrichtenaustausch aller Rechner
- BSP* berücksichtigt Nachrichtenlänge

PRAM (Shared Memory)

- synchrone Prozessoren
- gemeinsamer Speicher
- Speicherkonflikte



(symmetrisch) gemeinsamer Speicher

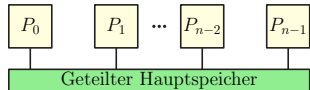
Verteilter Speicher (Distributed Memory)

B(ulk)S(ynchronous)P(arallel)

- kollektiver Nachrichtenaustausch aller Rechner
- BSP* berücksichtigt Nachrichtenlänge

PRAM

- klassifiziert nach Lese- (*read*) und Schreibzugriff (*write*)
- betrachte gleichzeitigen (*concurrent*) oder exklusiven Zugriff (*exclusive*)
 - EREW
 - ERCW (schwachsinn)
 - CREW
 - CRCW
 - **common**: alle müssen den gleichen Wert schreiben
 - **arbitrary**: Wert eines zufälligen Prozessors
 - **priority**: Wert mit kleinster Prozessor-ID
 - **combine**: Aggregation der Werte (z.B. Summe)



Vollverkabelt

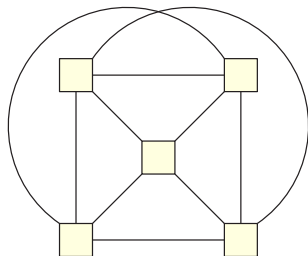
- nur für geringe Anzahl an Rechnern
- $\frac{p \cdot (p-1)}{2}$ Verbindungen nötig
- Varianten
 - Simplex
 - Telefon
 - Duplex

Hyperwürfel

- $p \log p$ Verbindungen
- klare Nummerierung von Nachbarn
* * * 1 * * \leftrightarrow * * * 0 * *

Kosten

- Kostenmaß Kommunikation ($T_{comm} = T_{start} + l \cdot T_{byte}$)



Vollverkabelt

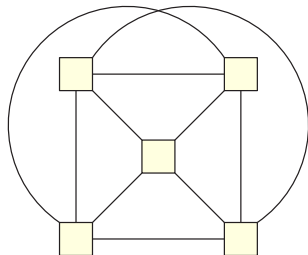
- nur für geringe Anzahl an Rechnern
- $\frac{p \cdot (p-1)}{2}$ Verbindungen nötig
- Varianten
 - Simplex $i \rightarrow j$
 - Telefon $i \leftrightarrow j$
 - Duplex $i \rightarrow j, k \rightarrow i$

Hyperwürfel

- $p \log p$ Verbindungen
- klare Nummerierung von Nachbarn
* * * 1 * * \leftrightarrow * * * 0 * *

Kosten

- Kostenmaß Kommunikation ($T_{comm} = T_{start} + l \cdot T_{byte}$)



Vollverkabelt

- nur für geringe Anzahl an Rechnern
- $\frac{p \cdot (p-1)}{2}$ Verbindungen nötig
- Varianten
 - Simplex $i \rightarrow j$
 - Telefon $i \leftrightarrow j$
 - Duplex $i \rightarrow j, k \rightarrow i$

Hyperwürfel

- $p \log p$ Verbindungen
- klare Nummerierung von Nachbarn
* * * 1 * * \leftrightarrow * * * 0 * *

•
0

Kosten

- Kostenmaß Kommunikation ($T_{comm} = T_{start} + l \cdot T_{byte}$)

Vollverkabelt

- nur für geringe Anzahl an Rechnern
- $\frac{p \cdot (p-1)}{2}$ Verbindungen nötig
- Varianten
 - Simplex $i \rightarrow j$
 - Telefon $i \leftrightarrow j$
 - Duplex $i \rightarrow j, k \rightarrow i$

Hyperwürfel

- $p \log p$ Verbindungen
- klare Nummerierung von Nachbarn
* * * 1 * * \leftrightarrow * * * 0 * *

Kosten

- Kostenmaß Kommunikation ($T_{comm} = T_{start} + l \cdot T_{byte}$)



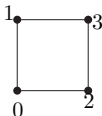
Vollverkabelt

- nur für geringe Anzahl an Rechnern
- $\frac{p \cdot (p-1)}{2}$ Verbindungen nötig
- Varianten
 - Simplex $i \rightarrow j$
 - Telefon $i \leftrightarrow j$
 - Duplex $i \rightarrow j, k \rightarrow i$



Hyperwürfel

- $p \log p$ Verbindungen
- klare Nummerierung von Nachbarn
* * * 1 * * \leftrightarrow * * * 0 * *



Kosten

- Kostenmaß Kommunikation ($T_{comm} = T_{start} + l \cdot T_{byte}$)

Vollverkabelt

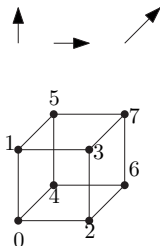
- nur für geringe Anzahl an Rechnern
- $\frac{p \cdot (p-1)}{2}$ Verbindungen nötig
- Varianten
 - Simplex $i \rightarrow j$
 - Telefon $i \leftrightarrow j$
 - Duplex $i \rightarrow j, k \rightarrow i$

Hyperwürfel

- $p \log p$ Verbindungen
- klare Nummerierung von Nachbarn
* * * 1 * * \leftrightarrow * * * 0 * *

Kosten

- Kostenmaß Kommunikation ($T_{comm} = T_{start} + l \cdot T_{byte}$)



Vollverkabelt

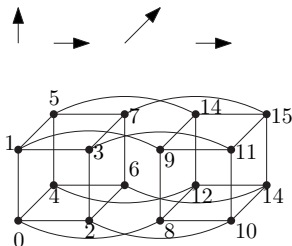
- nur für geringe Anzahl an Rechnern
- $\frac{p \cdot (p-1)}{2}$ Verbindungen nötig
- Varianten
 - Simplex $i \rightarrow j$
 - Telefon $i \leftrightarrow j$
 - Duplex $i \rightarrow j, k \rightarrow i$

Hyperwürfel

- $p \log p$ Verbindungen
- klare Nummerierung von Nachbarn
* * * 1 * * \leftrightarrow * * * 0 * *

Kosten

- Kostenmaß Kommunikation ($T_{comm} = T_{start} + l \cdot T_{byte}$)



Vollverkabelt

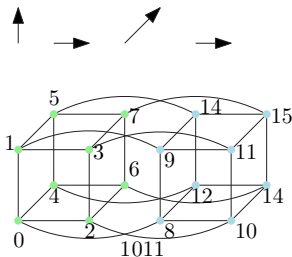
- nur für geringe Anzahl an Rechnern
- $\frac{p \cdot (p-1)}{2}$ Verbindungen nötig
- Varianten
 - Simplex $i \rightarrow j$
 - Telefon $i \leftrightarrow j$
 - Duplex $i \rightarrow j, k \rightarrow i$

Hyperwürfel

- $p \log p$ Verbindungen
- klare Nummerierung von Nachbarn
***1** \leftrightarrow ***0**

Kosten

- Kostenmaß Kommunikation ($T_{comm} = T_{start} + l \cdot T_{byte}$)



Vollverkabelt

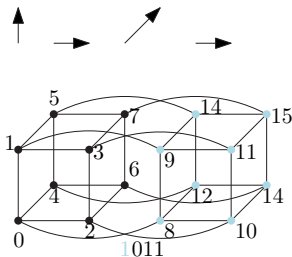
- nur für geringe Anzahl an Rechnern
- $\frac{p \cdot (p-1)}{2}$ Verbindungen nötig
- Varianten
 - Simplex $i \rightarrow j$
 - Telefon $i \leftrightarrow j$
 - Duplex $i \rightarrow j, k \rightarrow i$

Hyperwürfel

- $p \log p$ Verbindungen
- klare Nummerierung von Nachbarn
* * * 1 * * \leftrightarrow * * * 0 * *

Kosten

- Kostenmaß Kommunikation ($T_{comm} = T_{start} + l \cdot T_{byte}$)



Vollverkabelt

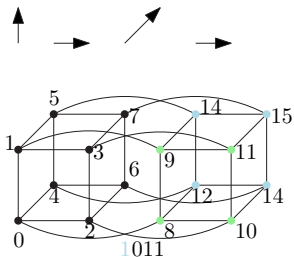
- nur für geringe Anzahl an Rechnern
- $\frac{p \cdot (p-1)}{2}$ Verbindungen nötig
- Varianten
 - Simplex $i \rightarrow j$
 - Telefon $i \leftrightarrow j$
 - Duplex $i \rightarrow j, k \rightarrow i$

Hyperwürfel

- $p \log p$ Verbindungen
- klare Nummerierung von Nachbarn
* * * 1 * * \leftrightarrow * * * 0 * *

Kosten

- Kostenmaß Kommunikation ($T_{comm} = T_{start} + l \cdot T_{byte}$)



Vollverkabelt

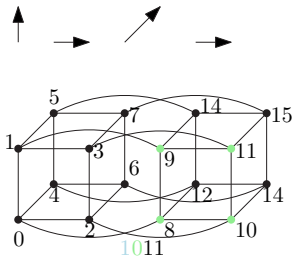
- nur für geringe Anzahl an Rechnern
- $\frac{p \cdot (p-1)}{2}$ Verbindungen nötig
- Varianten
 - Simplex $i \rightarrow j$
 - Telefon $i \leftrightarrow j$
 - Duplex $i \rightarrow j, k \rightarrow i$

Hyperwürfel

- $p \log p$ Verbindungen
- klare Nummerierung von Nachbarn
 - ***1** \leftrightarrow ***0**

Kosten

- Kostenmaß Kommunikation ($T_{comm} = T_{start} + l \cdot T_{byte}$)



Vollverkabelt

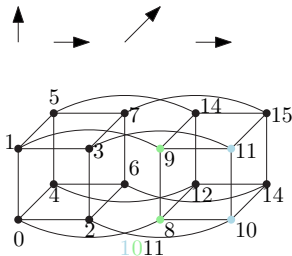
- nur für geringe Anzahl an Rechnern
- $\frac{p \cdot (p-1)}{2}$ Verbindungen nötig
- Varianten
 - Simplex $i \rightarrow j$
 - Telefon $i \leftrightarrow j$
 - Duplex $i \rightarrow j, k \rightarrow i$

Hyperwürfel

- $p \log p$ Verbindungen
- klare Nummerierung von Nachbarn
***1** \leftrightarrow ***0**

Kosten

- Kostenmaß Kommunikation ($T_{comm} = T_{start} + l \cdot T_{byte}$)



Vollverkabelt

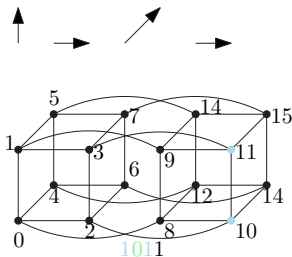
- nur für geringe Anzahl an Rechnern
- $\frac{p \cdot (p-1)}{2}$ Verbindungen nötig
- Varianten
 - Simplex $i \rightarrow j$
 - Telefon $i \leftrightarrow j$
 - Duplex $i \rightarrow j, k \rightarrow i$

Hyperwürfel

- $p \log p$ Verbindungen
- klare Nummerierung von Nachbarn
 - ***1** \leftrightarrow ***0**

Kosten

- Kostenmaß Kommunikation ($T_{comm} = T_{start} + l \cdot T_{byte}$)



Vollverkabelt

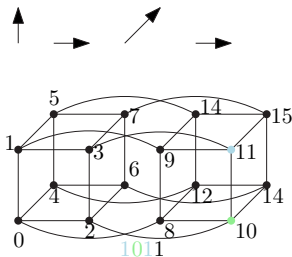
- nur für geringe Anzahl an Rechnern
- $\frac{p \cdot (p-1)}{2}$ Verbindungen nötig
- Varianten
 - Simplex $i \rightarrow j$
 - Telefon $i \leftrightarrow j$
 - Duplex $i \rightarrow j, k \rightarrow i$

Hyperwürfel

- $p \log p$ Verbindungen
- klare Nummerierung von Nachbarn
***1** \leftrightarrow ***0**

Kosten

- Kostenmaß Kommunikation ($T_{comm} = T_{start} + l \cdot T_{byte}$)



Vollverkabelt

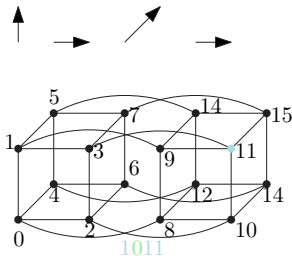
- nur für geringe Anzahl an Rechnern
- $\frac{p \cdot (p-1)}{2}$ Verbindungen nötig
- Varianten
 - Simplex $i \rightarrow j$
 - Telefon $i \leftrightarrow j$
 - Duplex $i \rightarrow j, k \rightarrow i$

Hyperwürfel

- $p \log p$ Verbindungen
- klare Nummerierung von Nachbarn
 - ***1** \leftrightarrow ***0**

Kosten

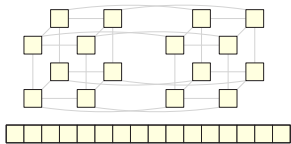
- Kostenmaß Kommunikation ($T_{comm} = T_{start} + l \cdot T_{byte}$)



Anwendungen

Präfixsumme - Hypercube

- jede CPU speichert zwei Werte
 1. Summe aller bekannten Elemente
 2. Summe aller bekannten Elemente von CPUs mit **kleinerer ID**

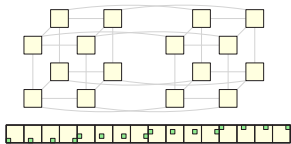


- ist in Schritt k das eigene k -te Bit 1 so gilt:
Summe aller Elemente beim Kommunikationspartner kommt von CPUs mit kleinerer ID
- sonst: erhaltene Daten gehören zu CPUs **größerer ID**
- $T(n, p) = (T_{start} + n \cdot T_{byte}) \cdot \log p$

Anwendungen

Präfixsumme - Hypercube

- jede CPU speichert zwei Werte
 1. Summe aller bekannten Elemente
 2. Summe aller bekannten Elemente von CPUs mit **kleinerer ID**

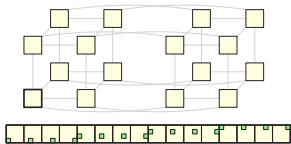


- ist in Schritt k das eigene k -te Bit 1 so gilt:
Summe aller Elemente beim Kommunikationspartner kommt von CPUs mit kleinerer ID
- sonst: erhaltene Daten gehören zu CPUs **größerer ID**
- $T(n, p) = (T_{start} + n \cdot T_{byte}) \cdot \log p$

Anwendungen

Präfixsumme - Hypercube

- jede CPU speichert zwei Werte
 1. Summe aller bekannten Elemente
 2. Summe aller bekannten Elemente von CPUs mit **kleinerer ID**

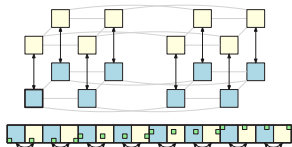


- ist in Schritt k das eigene k -te Bit 1 so gilt:
Summe aller Elemente beim Kommunikationspartner kommt von CPUs mit kleinerer ID
- sonst: erhaltene Daten gehören zu CPUs **größerer ID**
- $T(n, p) = (T_{start} + n \cdot T_{byte}) \cdot \log p$

Anwendungen

Präfixsumme - Hypercube

- jede CPU speichert zwei Werte
 1. Summe aller bekannten Elemente
 2. Summe aller bekannten Elemente von CPUs mit **kleinerer ID**

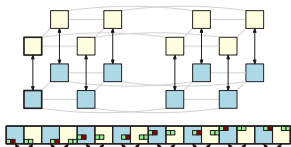


- ist in Schritt k das eigene k -te Bit 1 so gilt:
Summe aller Elemente beim Kommunikationspartner kommt von CPUs mit kleinerer ID
- sonst: erhaltene Daten gehören zu CPUs **größerer ID**
- $T(n, p) = (T_{start} + n \cdot T_{byte}) \cdot \log p$

Anwendungen

Präfixsumme - Hypercube

- jede CPU speichert zwei Werte
 1. Summe aller bekannten Elemente
 2. Summe aller bekannten Elemente von CPUs mit **kleinerer ID**

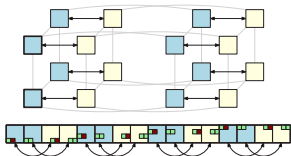


- ist in Schritt k das eigene k -te Bit 1 so gilt:
Summe aller Elemente beim Kommunikationspartner kommt von CPUs mit kleinerer ID
- sonst: erhaltene Daten gehören zu CPUs **größerer ID**
- $T(n, p) = (T_{start} + n \cdot T_{byte}) \cdot \log p$

Anwendungen

Präfixsumme - Hypercube

- jede CPU speichert zwei Werte
 1. Summe aller bekannten Elemente
 2. Summe aller bekannten Elemente von CPUs mit **kleinerer ID**

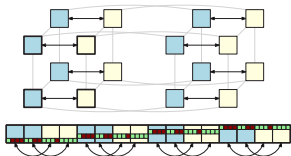


- ist in Schritt k das eigene k -te Bit 1 so gilt:
Summe aller Elemente beim Kommunikationspartner kommt von CPUs mit kleinerer ID
- sonst: erhaltene Daten gehören zu CPUs **größerer ID**
- $T(n, p) = (T_{start} + n \cdot T_{byte}) \cdot \log p$

Anwendungen

Präfixsumme - Hypercube

- jede CPU speichert zwei Werte
 1. Summe aller bekannten Elemente
 2. Summe aller bekannten Elemente von CPUs mit **kleinerer ID**

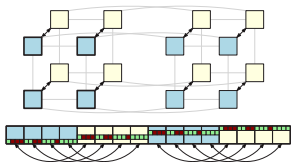


- ist in Schritt k das eigene k -te Bit 1 so gilt:
Summe aller Elemente beim Kommunikationspartner kommt von CPUs mit kleinerer ID
- sonst: erhaltene Daten gehören zu CPUs **größerer ID**
- $T(n, p) = (T_{start} + n \cdot T_{byte}) \cdot \log p$

Anwendungen

Präfixsumme - Hypercube

- jede CPU speichert zwei Werte
 1. Summe aller bekannten Elemente
 2. Summe aller bekannten Elemente von CPUs mit **kleinerer ID**

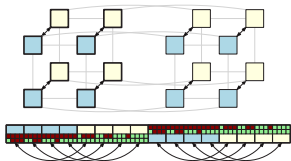


- ist in Schritt k das eigene k -te Bit 1 so gilt:
Summe aller Elemente beim Kommunikationspartner kommt von CPUs mit kleinerer ID
- sonst: erhaltene Daten gehören zu CPUs **größerer ID**
- $T(n, p) = (T_{start} + n \cdot T_{byte}) \cdot \log p$

Anwendungen

Präfixsumme - Hypercube

- jede CPU speichert zwei Werte
 1. Summe aller bekannten Elemente
 2. Summe aller bekannten Elemente von CPUs mit **kleinerer ID**

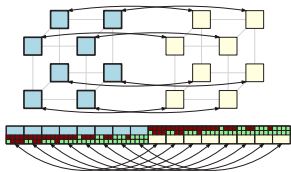


- ist in Schritt k das eigene k -te Bit 1 so gilt:
Summe aller Elemente beim Kommunikationspartner kommt von CPUs mit kleinerer ID
- sonst: erhaltene Daten gehören zu CPUs **größerer ID**
- $T(n, p) = (T_{start} + n \cdot T_{byte}) \cdot \log p$

Anwendungen

Präfixsumme - Hypercube

- jede CPU speichert zwei Werte
 1. Summe aller bekannten Elemente
 2. Summe aller bekannten Elemente von CPUs mit **kleinerer ID**

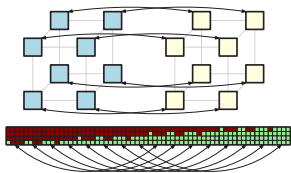


- ist in Schritt k das eigene k -te Bit 1 so gilt:
Summe aller Elemente beim Kommunikationspartner kommt von CPUs mit kleinerer ID
- sonst: erhaltene Daten gehören zu CPUs **größerer ID**
- $T(n, p) = (T_{start} + n \cdot T_{byte}) \cdot \log p$

Anwendungen

Präfixsumme - Hypercube

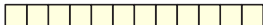
- jede CPU speichert zwei Werte
 1. Summe aller bekannten Elemente
 2. Summe aller bekannten Elemente von CPUs mit **kleinerer ID**



- ist in Schritt k das eigene k -te Bit 1 so gilt:
Summe aller Elemente beim Kommunikationspartner kommt von CPUs mit kleinerer ID
- sonst: erhaltene Daten gehören zu CPUs **größerer ID**
- $T(n, p) = (T_{start} + n \cdot T_{byte}) \cdot \log p$

- viele komplexere Algorithmen nutzen Reduktionsschemata in Baumform
- hier Beispiel Präfixsumme (Fibonacci-Baum)
- zweiphasig, aufwärts und abwärts

Aufwärtsphase



- Prozessoren aggregieren Daten aus Teilbäumen
- speichere Summe **kleinerer** (linker Teilbaum) und **größerer** (rechter Teilbaum) Elemente (getrennt voneinander)
- leite **Summe** aller Elemente an Vorgängerknoten

Abwärtsphase

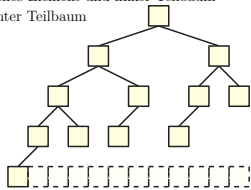
- gesammelte Daten werden verteilt
- bisher in Abwärtsphase empfangene Daten; eigene Daten und Daten des linken Teilbaums nur nach rechts

Anwendungen

PRAM Präfixsumme

- viele komplexere Algorithmen nutzen Reduktionsschemata in Baumform
- hier Beispiel Präfixsumme (Fibonacci-Baum)
- zweiphasig, aufwärts und abwärts

- eigenes Element und linker Teilbaum
- rechter Teilbaum



Aufwärtsphase

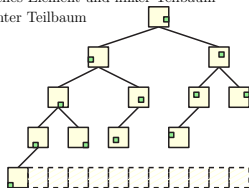
- Prozessoren aggregieren Daten aus Teilbäumen
- speichere Summe **kleinerer** (linker Teilbaum) und **größerer** (rechter Teilbaum) Elemente (getrennt voneinander)
- leite **Summe** aller Elemente an Vorgängerknoten

Abwärtsphase

- gesammelte Daten werden verteilt
- bisher in Abwärtsphase empfangene Daten; eigene Daten und Daten des linken Teilbaums nur nach rechts

- viele komplexere Algorithmen nutzen Reduktionsschemata in Baumform
- hier Beispiel Präfixsumme (Fibonacci-Baum)
- zweiphasig, aufwärts und abwärts

- eigenes Element und linker Teilbaum
- rechter Teilbaum



Aufwärtsphase

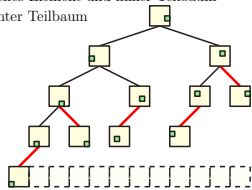
- Prozessoren aggregieren Daten aus Teilbäumen
- speichere Summe **kleinerer** (linker Teilbaum) und **größerer** (rechter Teilbaum) Elemente (getrennt voneinander)
- leite **Summe** aller Elemente an Vorgängerknoten

Abwärtsphase

- gesammelte Daten werden verteilt
- bisher in Abwärtsphase empfangene Daten; eigene Daten und Daten des linken Teilbaums nur nach rechts

- viele komplexere Algorithmen nutzen Reduktionsschemata in Baumform
- hier Beispiel Präfixsumme (Fibonacci-Baum)
- zweiphasig, aufwärts und abwärts

- eigenes Element und linker Teilbaum
- rechter Teilbaum



Aufwärtsphase

- Prozessoren aggregieren Daten aus Teilbäumen
- speichere Summe **kleinerer** (linker Teilbaum) und **größerer** (rechter Teilbaum) Elemente (getrennt voneinander)
- leite **Summe** aller Elemente an Vorgängerknoten

Abwärtsphase

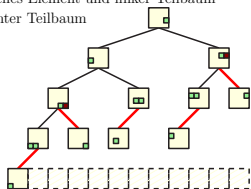
- gesammelte Daten werden verteilt
- bisher in Abwärtsphase empfangene Daten; eigene Daten und Daten des linken Teilbaums nur nach rechts

Anwendungen

PRAM Prefixsumme

- viele komplexere Algorithmen nutzen Reduktionsschemata in Baumform
- hier Beispiel Prefixsumme (Fibonacci-Baum)
- zweiphasig, aufwärts und abwärts

- eigenes Element und linker Teilbaum
- rechter Teilbaum



Aufwärtsphase

- Prozessoren aggregieren Daten aus Teilbäumen
- speichere Summe **kleinerer** (linker Teilbaum) und **größerer** (rechter Teilbaum) Elemente (getrennt voneinander)
- leite **Summe** aller Elemente an Vorgängerknoten

Abwärtsphase

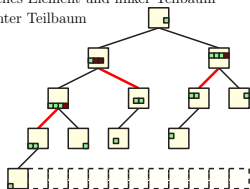
- gesammelte Daten werden verteilt
- bisher in Abwärtsphase empfangene Daten; eigene Daten und Daten des linken Teilbaums nur nach rechts

Anwendungen

PRAM Prefixsumme

- viele komplexere Algorithmen nutzen Reduktionsschemata in Baumform
- hier Beispiel Prefixsumme (Fibonacci-Baum)
- zweiphasig, aufwärts und abwärts

- eigenes Element und linker Teilbaum
- rechter Teilbaum



Aufwärtsphase

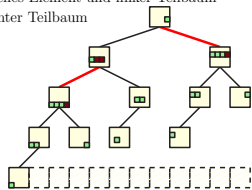
- Prozessoren aggregieren Daten aus Teilbäumen
- speichere Summe **kleinerer** (linker Teilbaum) und **größerer** (rechter Teilbaum) Elemente (getrennt voneinander)
- leite **Summe** aller Elemente an Vorgängerknoten

Abwärtsphase

- gesammelte Daten werden verteilt
- bisher in Abwärtsphase empfangene Daten; eigene Daten und Daten des linken Teilbaums nur nach rechts

- viele komplexere Algorithmen nutzen Reduktionsschemata in Baumform
- hier Beispiel Prefixsumme (Fibonacci-Baum)
- zweiphasig, aufwärts und abwärts

- eigenes Element und linker Teilbaum
- rechter Teilbaum



Aufwärtsphase

- Prozessoren aggregieren Daten aus Teilbäumen
- speichere Summe **kleinerer** (linker Teilbaum) und **größerer** (rechter Teilbaum) Elemente (getrennt voneinander)
- leite **Summe** aller Elemente an Vorgängerknoten

Abwärtsphase

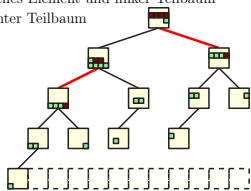
- gesammelte Daten werden verteilt
- bisher in Abwärtsphase empfangene Daten; eigene Daten und Daten des linken Teilbaums nur nach rechts

Anwendungen

PRAM Prefixsumme

- viele komplexere Algorithmen nutzen Reduktionsschemata in Baumform
- hier Beispiel Prefixsumme (Fibonacci-Baum)
- zweiphasig, aufwärts und abwärts

- eigenes Element und linker Teilbaum
- rechter Teilbaum



Aufwärtsphase

- Prozessoren aggregieren Daten aus Teilbäumen
- speichere Summe **kleinerer** (linker Teilbaum) und **größerer** (rechter Teilbaum) Elemente (getrennt voneinander)
- leite **Summe** aller Elemente an Vorgängerknoten

Abwärtsphase

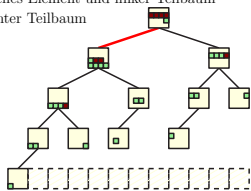
- gesammelte Daten werden verteilt
- bisher in Abwärtsphase empfangene Daten; eigene Daten und Daten des linken Teilbaums nur nach rechts

Anwendungen

PRAM Prefixsumme

- viele komplexere Algorithmen nutzen Reduktionsschemata in Baumform
- hier Beispiel Prefixsumme (Fibonacci-Baum)
- zweiphasig, aufwärts und abwärts

- eigenes Element und linker Teilbaum
- rechter Teilbaum



Aufwärtsphase

- Prozessoren aggregieren Daten aus Teilbäumen
- speichere Summe **kleinerer** (linker Teilbaum) und **größerer** (rechter Teilbaum) Elemente (getrennt voneinander)
- leite **Summe** aller Elemente an Vorgängerknoten

Abwärtsphase

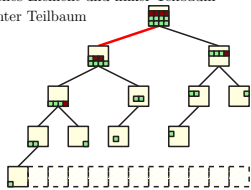
- gesammelte Daten werden verteilt
- bisher in Abwärtsphase empfangene Daten; eigene Daten und Daten des linken Teilbaums nur nach rechts

Anwendungen

PRAM Präfixsumme

- viele komplexere Algorithmen nutzen Reduktionsschemata in Baumform
- hier Beispiel Präfixsumme (Fibonacci-Baum)
- zweiphasig, aufwärts und abwärts

- eigenes Element und linker Teilbaum
- rechter Teilbaum



Aufwärtsphase

- Prozessoren aggregieren Daten aus Teilbäumen
- speichere Summe **kleinerer** (linker Teilbaum) und **größerer** (rechter Teilbaum) Elemente (getrennt voneinander)
- leite **Summe** aller Elemente an Vorgängerknoten

Abwärtsphase

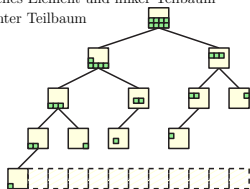
- gesammelte Daten werden verteilt
- bisher in Abwärtsphase empfangene Daten; eigene Daten und Daten des linken Teilbaums nur nach rechts

Anwendungen

PRAM Prefixsumme

- viele komplexere Algorithmen nutzen Reduktionsschemata in Baumform
- hier Beispiel Prefixsumme (Fibonacci-Baum)
- zweiphasig, aufwärts und abwärts

- eigenes Element und linker Teilbaum
- rechter Teilbaum



Aufwärtsphase

- Prozessoren aggregieren Daten aus Teilbäumen
- speichere Summe **kleinerer** (linker Teilbaum) und **größerer** (rechter Teilbaum) Elemente (getrennt voneinander)
- leite **Summe** aller Elemente an Vorgängerknoten

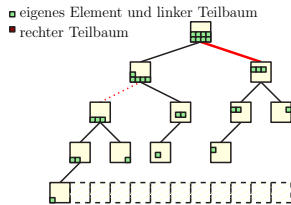
Abwärtsphase

- gesammelte Daten werden verteilt
- bisher in Abwärtsphase empfangene Daten; eigene Daten und Daten des linken Teilbaums nur nach rechts

Anwendungen

PRAM Prefixsumme

- viele komplexere Algorithmen nutzen Reduktionsschemata in Baumform
- hier Beispiel Prefixsumme (Fibonacci-Baum)
- zweiphasig, aufwärts und abwärts



Aufwärtsphase

- Prozessoren aggregieren Daten aus Teilbäumen
- speichere Summe **kleinerer** (linker Teilbaum) und **größerer** (rechter Teilbaum) Elemente (getrennt voneinander)
- leite **Summe** aller Elemente an Vorgängerknoten

Abwärtsphase

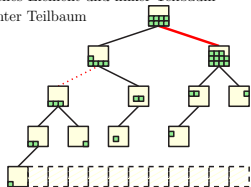
- gesammelte Daten werden verteilt
- bisher in Abwärtsphase empfangene Daten; eigene Daten und Daten des linken Teilbaums nur nach rechts

Anwendungen

PRAM Prefixsumme

- viele komplexere Algorithmen nutzen Reduktionsschemata in Baumform
- hier Beispiel Prefixsumme (Fibonacci-Baum)
- zweiphasig, aufwärts und abwärts

- eigenes Element und linker Teilbaum
- rechter Teilbaum



Aufwärtsphase

- Prozessoren aggregieren Daten aus Teilbäumen
- speichere Summe **kleinerer** (linker Teilbaum) und **größerer** (rechter Teilbaum) Elemente (getrennt voneinander)
- leite **Summe** aller Elemente an Vorgängerknoten

Abwärtsphase

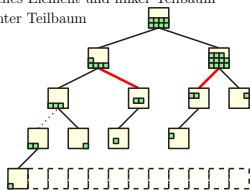
- gesammelte Daten werden verteilt
- bisher in Abwärtsphase empfangene Daten; eigene Daten und Daten des linken Teilbaums nur nach rechts

Anwendungen

PRAM Prefixsumme

- viele komplexere Algorithmen nutzen Reduktionsschemata in Baumform
- hier Beispiel Prefixsumme (Fibonacci-Baum)
- zweiphasig, aufwärts und abwärts

- eigenes Element und linker Teilbaum
- rechter Teilbaum



Aufwärtsphase

- Prozessoren aggregieren Daten aus Teilbäumen
- speichere Summe **kleinerer** (linker Teilbaum) und **größerer** (rechter Teilbaum) Elemente (getrennt voneinander)
- leite **Summe** aller Elemente an Vorgängerknoten

Abwärtsphase

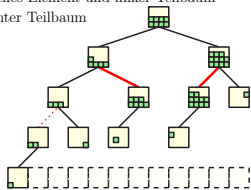
- gesammelte Daten werden verteilt
- bisher in Abwärtsphase empfangene Daten; eigene Daten und Daten des linken Teilbaums nur nach rechts

Anwendungen

PRAM Prefixsumme

- viele komplexere Algorithmen nutzen Reduktionsschemata in Baumform
- hier Beispiel Prefixsumme (Fibonacci-Baum)
- zweiphasig, aufwärts und abwärts

- eigenes Element und linker Teilbaum
- rechter Teilbaum



Aufwärtsphase

- Prozessoren aggregieren Daten aus Teilbäumen
- speichere Summe **kleinerer** (linker Teilbaum) und **größerer** (rechter Teilbaum) Elemente (getrennt voneinander)
- leite **Summe** aller Elemente an Vorgängerknoten

Abwärtsphase

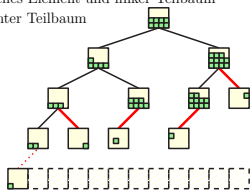
- gesammelte Daten werden verteilt
- bisher in Abwärtsphase empfangene Daten; eigene Daten und Daten des linken Teilbaums nur nach rechts

Anwendungen

PRAM Prefixsumme

- viele komplexere Algorithmen nutzen Reduktionsschemata in Baumform
- hier Beispiel Prefixsumme (Fibonacci-Baum)
- zweiphasig, aufwärts und abwärts

- eigenes Element und linker Teilbaum
- rechter Teilbaum



Aufwärtsphase

- Prozessoren aggregieren Daten aus Teilbäumen
- speichere Summe **kleinerer** (linker Teilbaum) und **größerer** (rechter Teilbaum) Elemente (getrennt voneinander)
- leite **Summe** aller Elemente an Vorgängerknoten

Abwärtsphase

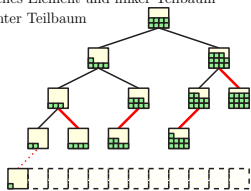
- gesammelte Daten werden verteilt
- bisher in Abwärtsphase empfangene Daten; eigene Daten und Daten des linken Teilbaums nur nach rechts

Anwendungen

PRAM Prefixsumme

- viele komplexere Algorithmen nutzen Reduktionsschemata in Baumform
- hier Beispiel Prefixsumme (Fibonacci-Baum)
- zweiphasig, aufwärts und abwärts

- eigenes Element und linker Teilbaum
- rechter Teilbaum





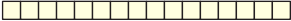

Aufwärtsphase

- Prozessoren aggregieren Daten aus Teilbäumen
- speichere Summe **kleinerer** (linker Teilbaum) und **größerer** (rechter Teilbaum) Elemente (getrennt voneinander)
- leite **Summe** aller Elemente an Vorgängerknoten

Abwärtsphase

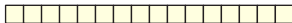
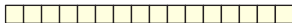
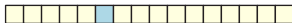
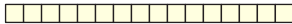
- gesammelte Daten werden verteilt
- bisher in Abwärtsphase empfangene Daten; eigene Daten und Daten des linken Teilbaums nur nach rechts

Rekursives Verfahren

1. ein PE stellt Pivot (zufällig) 
2. Broadcast 
3. lokaler Vergleich
4. **kleine** Elemente durchnummerieren
→ Präfixsumme 
5. umverteilen
 - Präfixsumme für **große** Elemente folgt direkt aus ID und Präfixsumme **kleiner** Elemente
 - Position **kleine** Elemente ist Präfixsummenwert
 - Position **großer** Elemente ist Anzahl **kleiner** Elemente plus Wert der Präfixsumme für **große** Elemente
6. Prozessoren aufspalten (Problematisch bei unbalancierter Verteilung)
7. parallele Rekursion

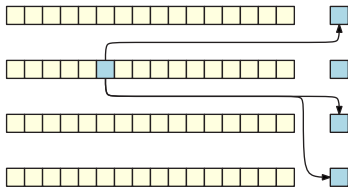
Rekursives Verfahren

1. ein PE stellt Pivot (zufällig)
2. Broadcast
3. lokaler Vergleich
4. **kleine** Elemente durchnummerieren
→ Präfixsumme
5. umverteilen
 - Präfixsumme für **große** Elemente folgt direkt aus ID und Präfixsumme **kleiner** Elemente
 - Position **kleine** Elemente ist Präfixsummenwert
 - Position **großer** Elemente ist Anzahl **kleiner** Elemente plus Wert der Präfixsumme für **große** Elemente
6. Prozessoren aufspalten (Problematisch bei unbalancierter Verteilung)
7. parallele Rekursion



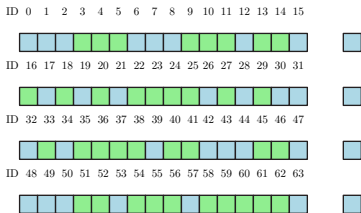
Rekursives Verfahren

1. ein PE stellt Pivot (zufällig)
2. Broadcast
3. lokaler Vergleich
4. **kleine** Elemente durchnummerieren
→ Präfixsumme
5. umverteilen
 - Präfixsumme für **große** Elemente folgt direkt aus ID und Präfixsumme **kleiner** Elemente
 - Position **kleiner** Elemente ist Präfixsummenwert
 - Position **großer** Elemente ist Anzahl **kleiner** Elemente plus Wert der Präfixsumme für **große** Elemente
6. Prozessoren aufspalten (Problematisch bei unbalancierter Verteilung)
7. parallele Rekursion



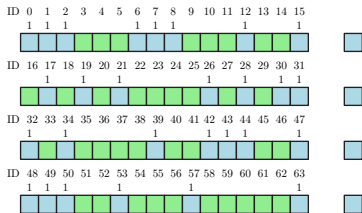
Rekursives Verfahren

1. ein PE stellt Pivot (zufällig)
2. Broadcast
3. lokaler Vergleich
4. **kleine** Elemente durchnummerieren
→ Präfixsumme
5. umverteilen
 - Präfixsumme für **große** Elemente folgt direkt aus ID und Präfixsumme **kleiner** Elemente
 - Position **kleine** Elemente ist Präfixsummenwert
 - Position **großer** Elemente ist Anzahl **kleiner** Elemente plus Wert der Präfixsumme für **große** Elemente
6. Prozessoren aufspalten (Problematisch bei unbalancierter Verteilung)
7. parallele Rekursion



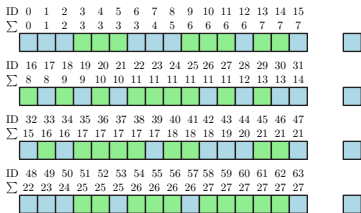
Rekursives Verfahren

1. ein PE stellt Pivot (zufällig)
2. Broadcast
3. lokaler Vergleich
4. **kleine** Elemente durchnummerieren
→ Präfixsumme
5. umverteilen
 - Präfixsumme für **große** Elemente folgt direkt aus ID und Präfixsumme **kleiner** Elemente
 - Position **kleiner** Elemente ist Präfixsummenwert
 - Position **großer** Elemente ist Anzahl **kleiner** Elemente plus Wert der Präfixsumme für **große** Elemente
6. Prozessoren aufspalten (Problematisch bei unbalancierter Verteilung)
7. parallele Rekursion



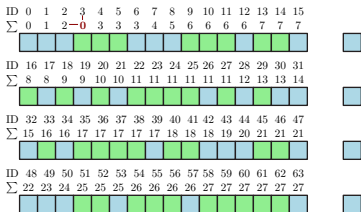
Rekursives Verfahren

1. ein PE stellt Pivot (zufällig)
2. Broadcast
3. lokaler Vergleich
4. **kleine** Elemente durchnummerieren
→ Präfixsumme
5. umverteilen
 - Präfixsumme für **große** Elemente folgt direkt aus ID und Präfixsumme **kleiner** Elemente
 - Position **kleiner** Elemente ist Präfixsummenwert
 - Position **großer** Elemente ist Anzahl **kleiner** Elemente plus Wert der Präfixsumme für **große** Elemente
6. Prozessoren aufspalten (Problematisch bei unbalancierter Verteilung)
7. parallele Rekursion



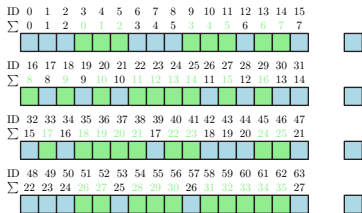
Rekursives Verfahren

- ein PE stellt Pivot (zufällig)
- Broadcast
- lokaler Vergleich
- kleine Elemente durchnummerieren
→ Präfixsumme
- umverteilen
 - Präfixsumme für große Elemente folgt direkt aus ID und Präfixsumme kleiner Elemente
 - Position kleine Elemente ist Präfixsummenwert
 - Position großer Elemente ist Anzahl kleiner Elemente plus Wert der Präfixsumme für große Elemente
- Prozessoren aufspalten (Problematisch bei unbalancierter Verteilung)
- parallele Rekursion



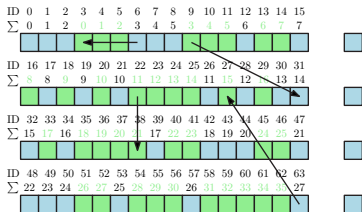
Rekursives Verfahren

1. ein PE stellt Pivot (zufällig)
2. Broadcast
3. lokaler Vergleich
4. **kleine** Elemente durchnummerieren
→ Präfixsumme
5. umverteilen
 - Präfixsumme für **große** Elemente folgt direkt aus ID und Präfixsumme **kleiner** Elemente
 - Position **kleine** Elemente ist Präfixsummenwert
 - Position **großer** Elemente ist Anzahl **kleiner** Elemente plus Wert der Präfixsumme für **große** Elemente
6. Prozessoren aufspalten (Problematisch bei unbalancierter Verteilung)
7. parallele Rekursion



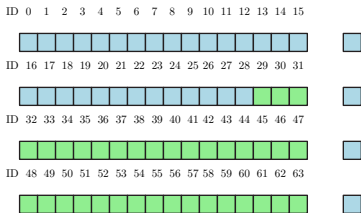
Rekursives Verfahren

1. ein PE stellt Pivot (zufällig)
2. Broadcast
3. lokaler Vergleich
4. **kleine** Elemente durchnummerieren
→ Präfixsumme
5. umverteilen
 - Präfixsumme für **große** Elemente folgt direkt aus ID und Präfixsumme **kleiner** Elemente
 - Position **kleine** Elemente ist Präfixsummenwert
 - Position **großer** Elemente ist Anzahl **kleiner** Elemente plus Wert der Präfixsumme für **große** Elemente
6. Prozessoren aufspalten (Problematisch bei unbalancierter Verteilung)
7. parallele Rekursion



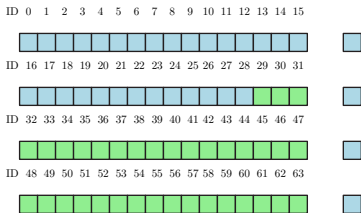
Rekursives Verfahren

1. ein PE stellt Pivot (zufällig)
2. Broadcast
3. lokaler Vergleich
4. **kleine** Elemente durchnummerieren
→ Präfixsumme
5. umverteilen
 - Präfixsumme für **große** Elemente folgt direkt aus ID und Präfixsumme **kleiner** Elemente
 - Position **kleine** Elemente ist Präfixsummenwert
 - Position **großer** Elemente ist Anzahl **kleiner** Elemente plus Wert der Präfixsumme für **große** Elemente
6. Prozessoren aufspalten (Problematisch bei unbalancierter Verteilung)
7. parallele Rekursion



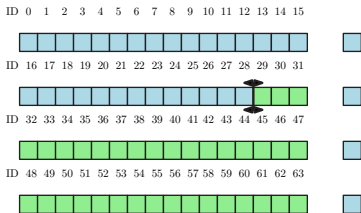
Rekursives Verfahren

1. ein PE stellt Pivot (zufällig)
2. Broadcast
3. lokaler Vergleich
4. **kleine** Elemente durchnummerieren
→ Präfixsumme
5. umverteilen
 - Präfixsumme für **große** Elemente folgt direkt aus ID und Präfixsumme **kleiner** Elemente
 - Position **kleine** Elemente ist Präfixsummenwert
 - Position **großer** Elemente ist Anzahl **kleiner** Elemente plus Wert der Präfixsumme für **große** Elemente
6. Prozessoren aufspalten (Problematisch bei unbalancierter Verteilung)
7. parallele Rekursion



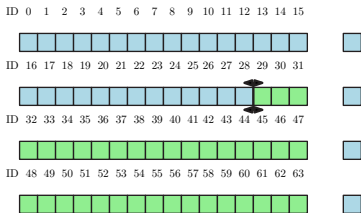
Rekursives Verfahren

1. ein PE stellt Pivot (zufällig)
2. Broadcast
3. lokaler Vergleich
4. **kleine** Elemente durchnummerieren
→ Präfixsumme
5. umverteilen
 - Präfixsumme für **große** Elemente folgt direkt aus ID und Präfixsumme **kleiner** Elemente
 - Position **kleine** Elemente ist Präfixsummenwert
 - Position **großer** Elemente ist Anzahl **kleiner** Elemente plus Wert der Präfixsumme für **große** Elemente
6. Prozessoren aufspalten (Problematisch bei unbalancierter Verteilung)
7. parallele Rekursion



Rekursives Verfahren

1. ein PE stellt Pivot (zufällig)
2. Broadcast
3. lokaler Vergleich
4. **kleine** Elemente durchnummerieren
→ Präfixsumme
5. umverteilen
 - Präfixsumme für **große** Elemente folgt direkt aus ID und Präfixsumme **kleiner** Elemente
 - Position **kleine** Elemente ist Präfixsummenwert
 - Position **großer** Elemente ist Anzahl **kleiner** Elemente plus Wert der Präfixsumme für **große** Elemente
6. Prozessoren aufspalten (Problematisch bei unbalancierter Verteilung)
7. parallele Rekursion



Einstieg in parallele Programmierung?

- OpenMP
 - www.openmp.org
 - enthalten im GCC Compiler
 - Parallelität über Preprozessorflags (`#pragma omp parallel`)
- Intel Thread Building Block Library (TBB)
 - <https://software.intel.com/en-us/tbb>
 - mehr objektorientierter als *OpenMP*
 - enthält konkurrente Datenstrukturen und viele parallele Primitive
 - Konkurrente *Queues*, *Arrays*, ...
 - Parallel *Sort*, *For*, *While*, ...
 - Komplexe *Dataflow*-Graphen
 - Geschachtelter und rekursiver Parallelismus
- Message Passing Interface (MPI)
 - <https://www.mcs.anl.gov/research/projects/mpi/>
 - Standard für verteilte Programmierung
 - implementiert die gängigsten Kommunikationsprimitiven (C-Style Interface)

Ende!



Feierabend!